

The background of the slide features a series of thin, dark grey lines forming overlapping circles and ellipses, creating a geometric pattern that frames the central text area.

Introduction to Particle Filtering

Dr. Yuan-Li Cai

Spring • 2024

0. Outline

- 1 引言 / 2
- 2 贝叶斯递推滤波 / 5
- 3 完备采样 (perfect sampling) / 8
- 4 重要性采样与重采样 / 11
- 5 粒子滤波算法 / 18
- 6 改进粒子滤波 / 42

1. 引言

前面介绍的扩展卡尔曼滤波方法 (EKF) 是非线性系统状态估计中最常用的方法, 其本质是基于线性化来传递系统的均值和协方差。对于非线性十分严重的系统, 实际应用 EKF 变得非常困难, 有时给出的状态估计可能十分不可靠。而 UKF 可以减小线性化带来的误差, 因此一般情况下可以获得比 EKF 要高的估计精度。

对比 EKF 和 UKF, 我们不难发现 EKF 估计非线性系统均值的精度是 1 阶的, 而 UKF 可以到达 2 阶以上。然而, 当系统的状态方程或量测方程

的非线性非常严重时，两者都避免不了滤波发散问题，只不过 UKF 推迟或延缓了滤波的发散。

这里我们将介绍粒子滤波 (particle filter, PF) 方法，可以有效地克服 EKF 或 UKF 可能遇到的滤波发散问题。粒子滤波的最初研究可以追溯到 20 世纪 40 年代，当时 Metropolis 和 Norbert Wiener 就提出了类似的设想。但是，实现粒子滤波离不开强大的计算资源，即使是计算机技术高度发展的今天，粒子滤波所需要的计算量仍然是限制其广泛应用的瓶颈。在有的文献中，粒子滤波又称为序贯重要性采样、蒙特-卡洛滤波等。

粒子滤波是一种“暴力”滤波方法，它以计算代价换取滤波性能。对于有些问题而言，这是值得或必须的。而对另外一些问题而言，如果计算资源受到较大的限制，那么粒子滤波则是不可取的。简言之，世上没有免费的

午餐，要不要采用粒子滤波，或者如何采用粒子滤波，要在计算资源与估计性能之间寻找合理的折衷，完全取决于问题本身。

由于 PF 属于随机滤波算法，因此我们首先简要回顾一下贝叶斯递推滤波算法 (第2节)。PF 的本质是蒙特-卡洛仿真，我们将在第3节、第4节分别介绍其中的完备采样、重要性采样及重采样等技术。然后，在第5节介绍 PF 的基本原理和算法。在基本粒子滤波算法的基础上，已经发展起来许多改进算法，我们将在第6节简要讨论两个重要的改进算法，分别是正则化粒子滤波和组合粒子滤波。此外，我们还给出了几个算例（附有了 MATLAB 代码），由此可以帮助大家对基本概念的理解和掌握。

2. 贝叶斯递推滤波

考虑如下一般的非线性系统：

$$\mathbf{x}_{k+1} = \mathbf{f}_k(\mathbf{x}_k, \mathbf{w}_k) \quad (1)$$

$$\mathbf{y}_k = \mathbf{h}_k(\mathbf{x}_k, \mathbf{v}_k) \quad (2)$$

其中, $\mathbf{x}_k \in \mathcal{R}^n$, $\mathbf{y}_k \in \mathcal{R}^m$; $\{\mathbf{w}_k\}$ 和 $\{\mathbf{v}_k\}$ 是相互独立的纯随机序列;
 $\mathbf{x}_0 \sim p_{\mathbf{x}_0}(\mathbf{x}_0) = p(\mathbf{x}_0) = p(\mathbf{x}_0|\mathbf{y}_0)$, 而且与 $\{\mathbf{w}_k\}$ 和 $\{\mathbf{v}_k\}$ 相互独立。

记 $\mathbf{Y}_k = (\mathbf{y}_1, \mathbf{y}_2, \dots, \mathbf{y}_k)$, 那么

$$p(\mathbf{x}_{k+1}|\mathbf{Y}_k) = \int p(\mathbf{x}_{k+1}|\mathbf{x}_k)p(\mathbf{x}_k|\mathbf{Y}_k)d\mathbf{x}_k \quad (3)$$

$$p(\mathbf{y}_{k+1}|\mathbf{Y}_k) = \int p(\mathbf{y}_{k+1}|\mathbf{x}_{k+1})p(\mathbf{x}_{k+1}|\mathbf{Y}_k)d\mathbf{x}_{k+1} \quad (4)$$

$$p(\mathbf{x}_{k+1}|\mathbf{Y}_{k+1}) = \frac{p(\mathbf{y}_{k+1}|\mathbf{x}_{k+1})p(\mathbf{x}_{k+1}|\mathbf{Y}_k)}{p(\mathbf{y}_{k+1}|\mathbf{Y}_k)} \quad (5)$$

以上三式便构成了递推求解 $p(\mathbf{x}_k|\mathbf{Y}_k)$ 的核心公式, 称为贝叶斯递推滤波算法。一般情况下, 通常无法获得解析解。

在 Monte Carlo (MC) 仿真中, 以若干足够多的离散样本 (称为粒子) 对期望的概率密度进行近似, 即

$$p(\mathbf{x}_k | \mathbf{Y}_k) \approx \hat{p}(\mathbf{x}_k | \mathbf{Y}_k) = \sum_{i=1}^N w_k^{(i)} \delta(\mathbf{x} - \mathbf{x}_k^{(i)}) \quad (6)$$

其中, $w_k^{(i)} \geq 0$, 而且 $\sum_{i=1}^N w_k^{(i)} = 1$ 。

问题: 如果生成粒子 $\{\mathbf{x}_k^{(i)}\}_{i=1,2,\dots,N}$ 并确定 $\{w_k^{(i)}\}_{i=1,2,\dots,N}$?

3. 完备采样 (perfect sampling)

对于目标密度函数 $p(\mathbf{x})$, 设 $\{\mathbf{x}^{(i)}, i = 1, 2, \dots, N\}$ 是根据 $p(\mathbf{x})$ 采样到的独立同分布粒子, 那么

$$p(\mathbf{x}) \approx \hat{p}(\mathbf{x}) = \frac{1}{N} \sum_{i=1}^N \delta(\mathbf{x} - \mathbf{x}^{(i)}) \quad (7)$$

例如:

$$\bar{\mathbf{x}} = \int \mathbf{x} p(\mathbf{x}) d\mathbf{x} \approx \frac{1}{N} \sum_{i=1}^N \mathbf{x}^{(i)}$$

$$\text{var}(\mathbf{x}) = \int (\mathbf{x} - \bar{\mathbf{x}})(\mathbf{x} - \bar{\mathbf{x}})^T p(\mathbf{x}) d\mathbf{x} \approx \frac{1}{N} \sum_{i=1}^N (\mathbf{x}^{(i)} - \bar{\mathbf{x}})(\mathbf{x}^{(i)} - \bar{\mathbf{x}})^T$$

更加一般地, 对于比较任意的函数 $g(\cdot)$ 有

$$Eg(\mathbf{x}) \approx \hat{E}_N g(\mathbf{x}) = \frac{1}{N} \sum_{i=1}^N g(\mathbf{x}^{(i)}) \quad (8)$$

理论上

$$\lim_{N \rightarrow +\infty} \hat{E}_N g(\mathbf{x}) \xrightarrow{a.s.} Eg(\mathbf{x}) \quad (9)$$

对于非线性滤波问题, 几乎不可能直接从 $p(\mathbf{x}_k|\mathbf{Y}_k)$ 进行采样, 需要下述重要性采样方法。

4. 重要性采样与重采样

4.1 重要性采样

通常，目标密度函数 $p(\mathbf{x})$ 非常复杂，不容易直接产生符合密度函数 $p(\mathbf{x})$ 的粒子。设 $q(\mathbf{x})$ 是较之 $p(\mathbf{x})$ 容易实现采样的概率分布密度函数，在支撑覆盖条件下，如果 $\{\mathbf{x}^{(i)}, i = 1, 2, \dots, N\} \sim q(\mathbf{x})$ ，那么粒子 $\mathbf{x}^{(i)}$ 属于 $p(\mathbf{x})$ 的概率为 $w^{(i)}$ ，称为接受概率，有

$$p(\mathbf{x}^{(i)}) \propto w^{(i)} q(\mathbf{x}^{(i)}) \quad (10)$$

上式可以简单论证如下。对于任意的函数 $g(\mathbf{x})$, 有

$$\begin{aligned} E g(\mathbf{x}) &= \int g(\mathbf{x}) p(\mathbf{x}) d\mathbf{x} \\ &= \int \left[g(\mathbf{x}) \frac{p(\mathbf{x})}{q(\mathbf{x})} \right] q(\mathbf{x}) d\mathbf{x} \\ &\approx \frac{1}{N} \sum_{i=1}^N g(\mathbf{x}^{(i)}) \frac{p(\mathbf{x}^{(i)})}{q(\mathbf{x}^{(i)})} \\ &= \sum_{i=1}^N w^{(i)} g(\mathbf{x}^{(i)}) \end{aligned}$$

上式定义了 $w^{(i)}$, 并验证了 (10) 式。换言之, 我们有

$$p(\mathbf{x}) \approx \sum_{i=1}^N w^{(i)} \delta(\mathbf{x} - \mathbf{x}^{(i)}) \quad (11)$$

上式说明了 $w^{(i)}$ 为接受概率的含义, 同时暗喻着 $\sum_{i=1}^N w^{(i)} = 1$ 。

[例] 定积分的 MC 求解。

4.2 重采样

重采样 (resampling) 是指根据 (11) 式进行重新采样, 获取若干个近似服从 $p(\mathbf{x})$ 分布的粒子。有许多重采样方法, 它决定了粒子滤波算法的计算复杂度。

对于目标密度函数的估计

$$\hat{p}(\mathbf{x}) = \sum_{i=1}^N \bar{w}^{(i)} \delta(\mathbf{x} - \mathbf{x}^{(i)}) \quad (12)$$

以 $\bar{w}^{(i)}$ 为接受概率重新产生 N 个粒子, 即 (离散概率密度)

$$\Pr(\hat{\mathbf{x}}^{(i)} = \mathbf{x}^{(j)}) = \bar{w}^{(j)}, i = 1, 2, \dots, N \quad (13)$$

重采样后，目标密度函数近似为

$$\tilde{p}(\mathbf{x}) = \frac{1}{N} \sum_{i=1}^N \delta(\mathbf{x} - \hat{\mathbf{x}}^{(i)}) \quad (14)$$

显然，重采样可能带来粒子贫化的问题。

常用的重采样方法：

◆ 简单随机采样（轮盘赌算法）

取 $i = 1, 2, \dots, N$ ，执行如下两步：

a) 生成随机数 $r \sim U[0, 1]$ （均匀分布）；

b) 逐个累加 $w^{(i)}$ ，直到大于 r ，即 $\sum_{i=1}^j w^{(i)} \geq r$ 且 $\sum_{i=1}^{j-1} w^{(i)} < r$ ，置旧粒子 $\mathbf{x}^{(j)}$ 为重采样粒子 $\hat{\mathbf{x}}^{(j)}$ 。

◆ 系统采样法 (systematic sampling)

a) 根据下式生成 N 个随机数:

$$u_i = \frac{(i-1)+r}{N}, r \sim U[0, 1]$$

b) 如果 $\sum_{j=1}^{m-1} \bar{w}^{(j)} < u_i \leq \sum_{j=1}^m \bar{w}^{(j)}$, 直接拷贝 m 个粒子 $\{\mathbf{x}^{(i)}\}$ 为重采样粒子 $\{\hat{\mathbf{x}}^{(i)}\}$ 。

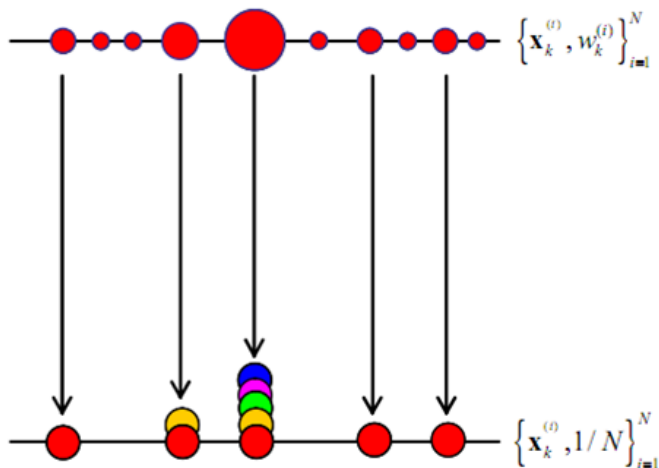


Figure 1: 重采样示意图

5. 粒子滤波算法

5.1 基本思想

粒子滤波是 Bayes 递推滤波算法的数值实现。首先根据系统状态的初始概率密度函数 $p(\mathbf{x}_0)$ (假设是已知的) 产生 N 个状态矢量 (称为粒子), 即 $\mathbf{x}_{0|0}^{(i)} \sim p(\mathbf{x}_0) (i = 1, 2, \dots, N)$ 。

在每一时刻 $k = 1, 2, \dots$, 按照状态方程传播粒子, 即

$$\mathbf{x}_{k|k-1}^{(i)} = \mathbf{f}_k(\mathbf{x}_{k-1|k-1}^{(i)}, \mathbf{w}_{k-1}^{(i)}), i = 1, 2, \dots, N \quad (15)$$

式中, $\mathbf{w}_{k-1}^{(i)}$ 是根据过程噪声统计特性生成的噪声矢量。上式表明, 我们获得了服从 $p(\mathbf{x}_{k|k-1}) = p(\mathbf{x}_k|\mathbf{y}_{k-1})$ 分布的若干粒子, 由此可以计算一步预测的均值和方差等。换句话说, 只要 N 足够大, 由完全采样可知

$$p(\mathbf{x}_{k|k-1}) \approx \hat{p}(\mathbf{x}_{k|k-1}) = \frac{1}{N} \sum_{i=1}^N \delta(\mathbf{x}_{k|k-1} - \mathbf{x}_{k|k-1}^{(i)}) \quad (16)$$

当获得新的量测值 \mathbf{y}_k 后, $p(\mathbf{x}_{k|k})$ 的近似估计可以表达为

$$\hat{p}(\mathbf{x}_{k|k}) = \sum_{i=1}^N w^{(i)} \delta(\mathbf{x}_{k|k} - \mathbf{x}_{k|k-1}^{(i)}) \quad (17)$$

其中 $w^{(i)} = \Pr(\mathbf{x}_k = \mathbf{x}_{k|k-1}^{(i)}|\mathbf{y}_k)$, 即对 (16) 中 $1/N$ 的修正。

由于

$$\Pr(\mathbf{x}_k = \mathbf{x}_{k|k-1}^{(i)} | \mathbf{y}_k) = \frac{\Pr(\mathbf{y}_k | \mathbf{x}_k = \mathbf{x}_{k|k-1}^{(i)}) \Pr(\mathbf{x}_k = \mathbf{x}_{k|k-1}^{(i)})}{\Pr(\mathbf{y}_k)} \quad (18)$$

因此

$$w^{(i)} \propto \Pr(\mathbf{y}_k | \mathbf{x}_k = \mathbf{x}_{k|k-1}^{(i)}) \quad (19)$$

总结上面的讨论，根据量测方程计算每个粒子 $\mathbf{x}_{k|k-1}^{(i)}$ 的条件似然值，并归一化，即

$$w_k^{(i)} = p(\mathbf{y}_k | \mathbf{x}_{k|k-1}^{(i)}) \quad (20)$$

$$\bar{w}_k^{(i)} = \frac{w_k^{(i)}}{\sum_{i=1}^N w_k^{(i)}}, i = 1, 2, \dots, N \quad (21)$$

那么

$$\hat{p}(\mathbf{x}_{k|k}) = \sum_{i=1}^N \bar{w}_k^{(i)} \delta(\mathbf{x}_{k|k} - \mathbf{x}_{k|k-1}^{(i)}) \quad (22)$$

为了下一步递推计算，需要进行重采样。重采样可以认为按下式获得 $\{\mathbf{x}_{k|k}^{(i)}\}_{i=1}^N$ 。

$$\Pr(\mathbf{x}_{k|k}^{(i)} = \mathbf{x}_{k|k-1}^{(j)}) = \bar{w}_k^{(j)}, \quad i = 1, 2, \dots, N \quad (23)$$

重采样后粒子权重均为 $1/N$ 。

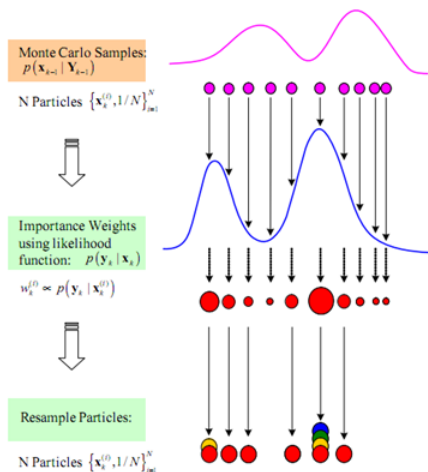


Figure 2: 粒子滤波示意图

5.2 PF 算法 1

(1) 初始化: $\{\mathbf{x}_{0|0}^{(i)}\}_{i=1}^N \sim p_{\mathbf{x}_0}(\mathbf{x}_0)$, 置 $k = 1$;

(2) 预测: $\mathbf{x}_{k|k-1}^{(i)} \sim p(\mathbf{x}_k | \mathbf{x}_{k-1|k-1}^{(i)})$, $i = 1, 2, \dots, N$;

(3) 滤波:

(a) 计算重要性权重: $w_k^{(i)} = p(\mathbf{y}_k | \mathbf{x}_{k|k-1}^{(i)})$, $i = 1, 2, \dots, N$;

(b) 归 1 化得到接受概率: $\bar{w}_k^{(i)} = \frac{w_k^{(i)}}{\sum_{i=1}^N w_k^{(i)}}$, $i = 1, 2, \dots, N$;

(c) 输出 (根据需要):

$$\hat{\mathbf{x}}_{k|k} = \sum_{i=1}^N \bar{w}_k^{(i)} \mathbf{x}_{k|k-1}^{(i)},$$

$$\mathbf{P}_{k|k} = \sum_{i=1}^N \bar{w}_k^{(i)} (\mathbf{x}_{k|k-1}^{(i)} - \hat{\mathbf{x}}_{k|k})(\mathbf{x}_{k|k-1}^{(i)} - \hat{\mathbf{x}}_{k|k})^T.$$

(d) 根据 $\Pr(\mathbf{x}_{k|k}^{(i)} = \mathbf{x}_{k|k-1}^{(j)}) = \bar{w}_k^{(j)}$ 重采样 N 个新的粒子 $\mathbf{x}_{k|k}^{(i)}$;

(4) 置 $k := k + 1$, 转 (2) 循环迭代。

5.3 PF 算法 2

(1) 初始化: $\{\mathbf{x}_{0|-1}^{(i)}\}_{i=1}^N \sim p_{\mathbf{x}_0}(\mathbf{x}_0)$, 置 $k = 0$;

(2) 滤波:

(a) 计算重要性权重: $w_k^{(i)} = p(\mathbf{y}_k | \mathbf{x}_{k|k-1}^{(i)})$, $i = 1, 2, \dots, N$;

(b) 归 1 化得到接受概率: $\bar{w}_k^{(i)} = \frac{w_k^{(i)}}{\sum_{i=1}^N w_k^{(i)}}$, $i = 1, 2, \dots, N$;

(c) 输出 (根据需要):

$$\hat{\mathbf{x}}_{k|k} = \sum_{i=1}^N \bar{w}_k^{(i)} \mathbf{x}_{k|k-1}^{(i)}$$

$$\mathbf{P}_{k|k} = \sum_{i=1}^N \bar{w}_k^{(i)} (\mathbf{x}_{k|k-1}^{(i)} - \hat{\mathbf{x}}_{k|k})(\mathbf{x}_{k|k-1}^{(i)} - \hat{\mathbf{x}}_{k|k})^T$$

(3) 重采样: 根据 $\Pr(\mathbf{x}_{k|k}^{(i)} = \mathbf{x}_{k|k-1}^{(j)}) = \bar{w}_k^{(j)}$ 重采样 N 个新的粒子 $\mathbf{x}_{k|k}^{(i)}$;

(4) 预测: $\mathbf{x}_{k+1|k}^{(i)} \sim p(\mathbf{x}_{k+1} | \mathbf{x}_{k|k}^{(i)})$, $i = 1, 2, \dots, N$;

(5) 置 $k := k + 1$, 转 (2) 循环迭代。

[说明]

- 在上述粒子滤波算法中, 预测 $\mathbf{x}_{k+1|k}^{(i)} \sim p(\mathbf{x}_{k+1}|\mathbf{x}_k^{(i)})$ 是指计算 $\mathbf{x}_{k|k-1}^{(i)} = \mathbf{f}_k(\mathbf{x}_{k-1|k-1}^{(i)}, \mathbf{w}_{k-1}^{(i)})$, 其中 $\mathbf{w}_{k-1}^{(i)} \sim p(\mathbf{w}_{k-1}), i = 1, 2, \dots, N$;
- 算法 1 与算法 2 之间的差异在于对初始粒子的假设不同, 算法 2 比算法 1 提前 1 步进行量测修正;
- 上述滤波算法的输出均采用了最常规的验后概率均值, 也可以采用验后概率对应的中值、模值等。

5.4 改进算法及相关研究

1. 引入粒子退化度量，避免每一步都进行重采样；
2. 重要性函数选取：辅助粒子滤波（APF）
3. 目标密度函数近似：高斯粒子滤波（GPF，GSPF 等）
4. 系统结构信息：边缘化粒子滤波（Marginalized Particle Filter）
5. 不同的重采样算法；
6. 嵌入 EKF/UKF 等；
7. 自适应技术；

8. 粒子平滑.

5.5 实现问题与 MATLAB 代码

5.5.1 重要性权重计算

如果量测噪声是加性噪声，即 $\mathbf{y}_k = \mathbf{h}_k(\mathbf{x}_k) + \mathbf{v}_k$ ，那么

$$w_k^{(i)} = p(\mathbf{y}_k | \mathbf{x}_{k|k-1}^{(i)}) = p_{\mathbf{v}_k}(\mathbf{y}_k - \mathbf{h}(\mathbf{x}_{k|k-1}^{(i)})) \quad (24)$$

5.5.2 预测粒子计算

如果过程噪声是加性的，那么

$$\mathbf{x}_{k|k-1}^{(i)} = \mathbf{f}_k(\mathbf{x}_{k-1|k-1}^{(i)}) + \mathbf{w}_{k-1}^{(i)} \quad (25)$$

其中噪声粒子 $\mathbf{w}_{k-1}^{(i)} \sim p_{\mathbf{w}_{k-1}}(\mathbf{w}_{k-1})$ 。

5.5.3 MATLAB code

```
%PF
```

```
function [xhat] = PF(f,h,pd\bm{f}_v,Q,P0,M,y)
```

```
n = size(P0,2);
```

```
x = sqrtm(P0)*randn(n,M); % 1. Initialize particles
```

```
tf = size(y,2);
```

```
% Algrithm 2
```

```
for t = 1:tf
```

```
    e = repmat(y(t),1,M) - h(x);
```

```
% 2. Calculate weights
w = feval(pd\bm{f}_v,e); % The likelihood function
w = w/sum(w); % Normalize importance weights
xhat(t) = sum(repmat(w,n,1).*x,2);
x = resampling(x, w); % 3. Resampling
x = feval(f,x,t)+sqrtm(Q)*randn(n,M);
% 4. Time update

end

% Algorithm 1
% for t = 1:tf
```



```
%      x = feval(f,x,t)+sqrtm(Q)*randn(n,M);  
% 2. Time update  
%      e = repmat(y(t),1,M) - h(x);  
% 3. Calculate weights  
%      w = feval(pd\bm{f}_v,e); % The likelihood function  
%      w = w/sum(w); % Normalize importance weights  
%      xhat(t) = sum(repmat(w,n,1).*x,2);  
%      x = resampling(x, w); % 4. Resampling  
% end
```

```
function [x] = resampling(x,w)
```

```
wc = cumsum(w); M=length(w);  
u = ([0:M-1]+rand(1))/M;  
ind = zeros(1,M); k = 1;  
for j = 1:M  
    while (wc(k)<u(j))  
        k = k + 1;  
    end  
    ind(j) = k;  
end  
x=x(:, ind);
```

说明:

- (1) f , h , $pd\backslash bm{f}_v$: 内键 (inline) 函数或 M 文件, 分别为状态方程及量测方程非线性函数以及似然函数 (量测噪声密度函数);
- (2) Q , $P0$: 过程噪声与初始状态协方差矩阵;
- (3) M , y : 粒子数与量测值;
- (4) $Xhat$: 状态滤波 (输出)。

5.5.4 仿真算例

[例 1] 许多论文采样的算例 (EKF 发散):

$$x_{k+1} = \frac{x_k}{2} + \frac{25x_k}{1+x_k^2} + 8\cos(1.2k) + w_k$$
$$y_k = \frac{x_k^2}{20} + v_k$$

其中, $x_0 \sim \mathcal{N}(0, 5)$; $w_k \sim \mathcal{N}(0, 10)$, $v_k \sim \mathcal{N}(0, 1)$, 二者均为白噪声, 相互独立。

实现代码

```
clear all;  
M = 1000; % Number of particles  
P0 = 5; % Initial noise covariance  
Q = 10; % Process noise covariance  
R = 1; % Measurement noise covariance  
tf = 100; % Final time  
  
pd\b{f}_v = inline('1/(2*pi*1)^(1/2)*exp(-(x.^2)/(2*1))');  
f = inline('x./2+25*x./(1+x.^2)+8*cos(1.2*t)','x','t');  
h = inline('(x.^2)/20');
```

```
x(1) = sqrtm(P0)*randn(1); % Initial state value
y(1) = feval(h,x(1)) + sqrtm(R)*randn(1);

for t = 2:tf % Simulate the system
x(t) = feval(f,x(t-1),t-1) + sqrtm(Q)*randn(1);
y(t) = feval(h,x(t)) + sqrtm(R)*randn(1);
end

xTrue = x;
xhat = PF(f,h,pd\bm{f}_v,Q,P0,M,y);
```

```
plot(1:tf, xhat, 'b--', 1:tf, xTrue, 'r');  
xlabel('Time');  
legend('状态估值', '状态真值');  
title('Particle Filter Simulation by Yuan-Li Cai');  
grid on;  
  
rms = sum((xTrue - xhat).^2);  
rms = sqrt(rms/tf)
```

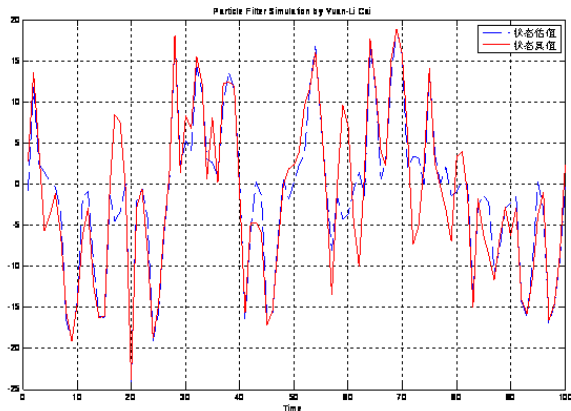


Figure 3: 粒子滤波仿真 (a)

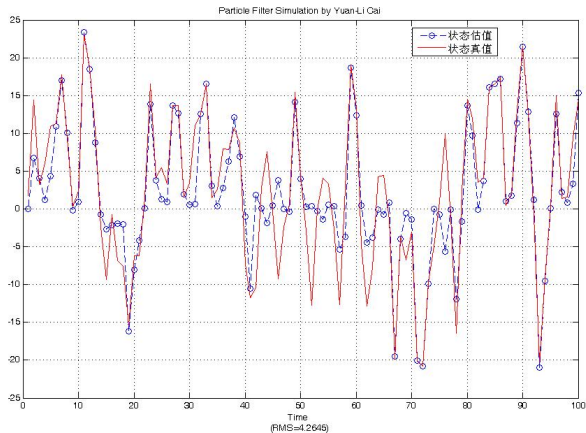


Figure 4: 粒子滤波仿真 (b)

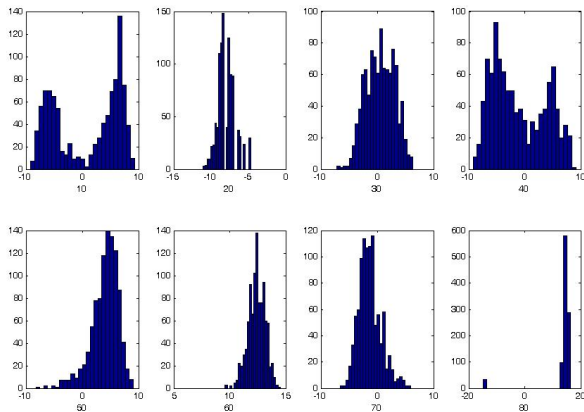


Figure 5: 粒子滤波仿真 (c)

6. 改进粒子滤波

6.1 正则化粒子滤波

粒子滤波除了计算量大外，主要还存在粒子退化和粒子贫化问题。粒子退化指滤波过程中，少量粒子的重要性权重变得很大，而若干粒子的重要性权重变得变得很小，甚至趋于 0。通过重采样，如前面给出的粒子滤波算法那样，可以克服粒子退化现象。

但在状态空间的某些区域，如果 $p(\mathbf{y}_k|\mathbf{x}_k)$ 与 $p(\mathbf{x}_k|\mathbf{y}_{k-1})$ 不能很好覆盖时，会出现粒子贫化现象。即通过 $p(\mathbf{y}_k|\mathbf{x}_k)$ 确定的接受概率进行重采样时，进入下一步滤波计算的不同粒子数目越来越少，使得粒子的多样性越来越

差。为此，提出了许多改进算法。这里简单介绍正则化粒子滤波的基本思想，这是一种可以有效克服粒子贫化的改进粒子滤波算法。

正则化粒子滤波 (Regularied Particle Filtering, RPF) 通过修改重采样依据的概率密度函数来完成，即用连续的概率密度函数代替前面 PF 算法中的离散概率密度函数，从而保证重采样后的粒子具有多样性。

回顾前面 PF 算法，重采样本质是依据如下概率密度函数：

$$\hat{p}(\mathbf{x}_{k|k}) = \sum_{i=1}^N \bar{w}_k^{(i)} \delta(\mathbf{x}_{k|k} - \mathbf{x}_{k|k-1})$$

RPF 中, 将上式修改为如下连续函数:

$$\hat{p}(\mathbf{x}_{k|k}) = \sum_{i=1}^N \bar{w}_k^{(i)} K_h(\mathbf{x}_{k|k} - \mathbf{x}_{k|k-1}) \quad (26)$$

其中

$$K_h(\mathbf{x}) = h^n K(\mathbf{x}/h) \quad (27)$$

h 称为带宽, 是一个设计参数; $K(\mathbf{x})$ 为一个对称的核函数, 满足如下条件:

$$\int \mathbf{x} K(\mathbf{x}) d\mathbf{x} = 0 \quad (28)$$

$$\int \|\mathbf{x}\|_2^2 d\mathbf{x} < \infty \quad (29)$$

可用的核函数很多, 例如高斯函数、三角函数、窗口函数等, 都是可能的选择。

6.2 组合粒子滤波

粒子滤波可以与与其他滤波方法组合起来使用，从而可以改善滤波的效果。例如，可以将 PF 与 EKF 组合，也可以将 PF 与 UKF 组合，前者可以称为 EKPF，后者可以称为 UKPF 或 SPPF。

EKPF 基本原理如下：

1. 对每个粒子进行 EKF：

$$[\hat{\mathbf{x}}_{k|k}^{(i)}, \mathbf{P}_{k|k}^{(i)}] = \text{EKF}(\hat{\mathbf{x}}_{k-1|k-1}^{(i)}, \mathbf{P}_{k-1|k-1}^{(i)}), i = 1, 2, \dots, N$$

2. 计算重采样概率：

$$w_k^{(i)} = p(\mathbf{y}_k | \hat{\mathbf{x}}_{k|k}^{(i)}), \bar{w}_k^{(i)} = \frac{w_k^{(i)}}{\sum_{i=1}^N w_k^{(i)}}$$

3. 重采样:

$$[\hat{\mathbf{x}}_{k|k}^{(i)}, \mathbf{P}_{k|k}^{(i)}] = \text{Resample}[\hat{\mathbf{x}}_{k|k}^{(i)}, \mathbf{w}_k^{(i)}], i = 1, 2, \dots, N$$

只要将上面的 EKF 换为 UKF 便是 SPPF 的原理, 不再赘述。

[例 2] 考虑非线性系统

$$x_{k+1} = 1 + \sin \frac{k\pi}{25} + \frac{1}{2}x_k + w_k$$
$$y_k = \begin{cases} \frac{1}{2}x_k^2 + v_k, & k \leq 30 \\ \frac{1}{2}x_k + v_k, & k > 30 \end{cases}$$

其中, $w_k \sim \mathcal{N}(0, 1.e - 5)$, $v_k \sim \Gamma(3, 0.5)$, $x_0 \sim \mathcal{N}(1, \frac{3}{4})$ 。

200; % number of particle

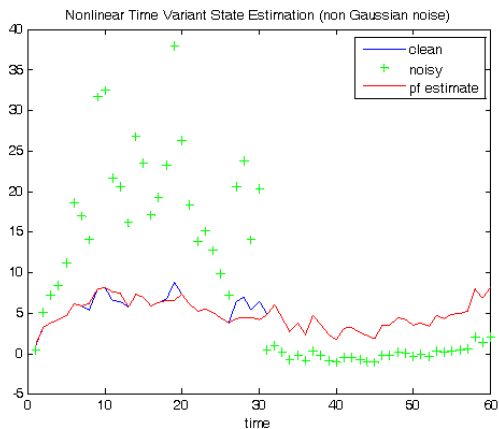


Figure 6: PF 仿真

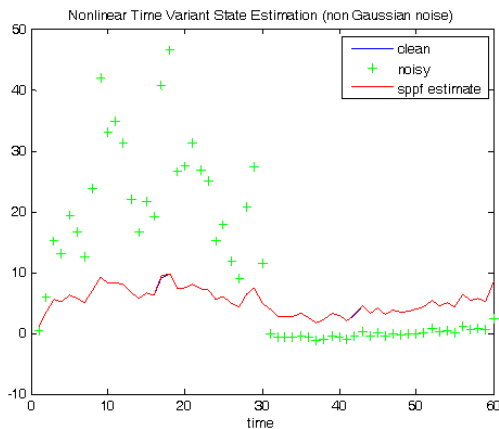


Figure 7: SPPF 仿真

6. 参考文献

- [1] 蔡远利 (Cai, Y.L.). A Note on Partical Filtering. *Xi'an Jiaotong University*, 2011.
- [2] 蔡远利 (Cai, Y.L.). Partical Filtering(PF). *Xi'an Jiaotong University*, 2010.
(包括序贯重要性采样 SIS、相对原始或严格的 PF 介绍等。)
- [3] Too many to be listed. I will complete this list when I am a little free in the near future.

Questions?